PONTIFÍCIA UNIVERSIDADE CATÓLICA DO RIO GRANDE DO SUL CURSO DE PÓS-GRADUAÇÃO EM MEDICINA E CIÊNCIAS DA SAÚDE ÁREA DE CONCENTRAÇÃO EM CLÍNICA CIRÚRGICA FACULDADE DE MEDICINA

JÉFERSON KRAWCYK DE OLIVEIRA

AVALIAÇÃO DA TAXA DE PROLIFERAÇÃO CELULAR DA LESÃO PRIMÁRIA COMO FATOR PREDITIVO DE POSITIVIDADE DE LINFONODO SENTINELA EM MELANOMA MALIGNO CUTÂNEO

Porto Alegre

Livros Grátis

http://www.livrosgratis.com.br

Milhares de livros grátis para download.

JÉFERSON KRAWCYK DE OLIVEIRA

AVALIAÇÃO DA TAXA DE PROLIFERAÇÃO CELULAR DA LESÃO PRIMÁRIA COMO FATOR PREDITIVO DE POSITIVIDADE DE LINFONODO SENTINELA EM MELANOMA MALIGNO CUTÂNEO

Dissertação apresentada como requisito para obtenção do grau de Mestre pelo Programa de Pósgraduação em Medicina e Ciências da Saúde da Pontifícia Universidade Católica do Rio Grande do Sul.

Orientador: Prof. Dr. Vinicius Duval da Silva

Porto Alegre

Dedico este trabalho aos meus pais, responsáveis pelo aprendizado dos preceitos morais e éticos que norteiam minha vida, à minha esposa, base emocional essencial para que fosse possível resistir em horas de dificuldade, a meu orientador, responsável pelo aprendizado dos conhecimentos necessários para que pudesse realizar este trabalho, ao Dr. Antônio Carlos Milano do Canto que, ao longo desta trajetória, me oportunizou 0 conhecimento cirúrgico necessário.

AGRADECIMENTOS

Agradeço a todos os funcionários do Hospital São Lucas da PUCRS, em especial aos funcionários do Laboratório de Anatomia Patológica, que, ao demandarem parte de seu tempo na ajuda a coleta de dados, não só me demonstraram o significado da palavra competência, mas também da palavra amizade.

"A ciência se compõe de erros que, por sua vez, são os passos até a verdade".

RESUMO

OLIVEIRA, JK. AVALIAÇÃO DA TAXA DE PROLIFERAÇÃO CELULAR DA LESÃO PRIMÁRIA COMO FATOR PREDITIVO DE POSITIVIDADE DE LINFONODO SENTINELA EM MELANOMA MALIGNO CUTÂNEO

O melanoma maligno cutâneo se encontra entre as neoplasias que mais aumentam em incidência anual no mundo. Vários fatores vêm sendo estudados na determinação de prognóstico, entre eles, a espessura de Breslow, os níveis de Clark, a presença de ulceração e a taxa de proliferação celular. Esta última vem ganhando importância nas últimas publicações, como um fator capaz de determinar a positividade de linfonodo sentinela, além do prognóstico. Pouco tem sido estudado, no entanto, seu papel enquanto variável isolada. Este trabalho tem por objetivo estudar possíveis relações entre a Taxa de Proliferação Celular (TPC) e a Positividade do Linfonodo Sentinela (PLS). Foram revisados, para tanto, os exames anatomopatológicos de 109 pacientes atendidos pelo Programa Melanoma do HSL-PUCRS no período de Outubro de 2006 até Novembro de 2008. Foi realizado teste de Chi-Quadrado entre as variáveis categóricas e Regressão Logística Binária visando identificação de variável com capacidade preditora de desfecho. As variáveis que demonstraram valor independente em relação desfecho, em pacientes abaixo de 40 anos, foram a Espessura de Breslow (p = 0,004) e Níveis de Clark (p = 0,047). A taxa de proliferação celular

apresentou relação aproximada com o desfecho pretendido quando colocadas todas as variáveis na equação. Quando realizada a técnica de RLB em pacientes com Breslow de 1-2 mm e idade inferior a 40 anos,a TRP demonstrou associação de 0,7 %, se removida a constante da equação. É provável que em um grupo selecionado de pacientes com espessura intermediária (1-2mm) e idade jovem (abaixo de 40 anos), seja possível predizer a positividade de um gânglio na pesquisa de linfonodo sentinela.

Palavras-chave : Melanoma. Taxa de Proliferação Celular. Linfonodo Sentinela

ABSTRACT

OLIVEIRA, JK. EVALUATION OF CELL PROLIFERATION RATE OF THE PRIMARY LESION AS A PREDICTION FACTOR FOR THE POSITIVITY OF SENTINEL LYMPH NODE IN CUTANEOUS MALIGNANT MELANOMA

Cutaneous malignant melanoma currently ranks among the neoplasms with the highest increasing annual incidence rates in the world. Several factors are under scrutiny to serve as prognostic markers of cmm such as Breslow, Clark levels, presence of ulceration and cell proliferation rate. The former has received especial relevance in the last studies published as an usefull factor to determine positivity of the sentinel lymph node besides it's prognostic value. Nevertheless, it's potencial as an isolated variable has not been throughly appreciated. The aim of this study was to explore possible relations between CPR and SLN positivity. Consecutive biopsies of 109 patients enrolled in the Melanoma Program of HSL- PUCRS between October 2006 and November 2008 were studied. Chi- square test between categoric variables and Binary Logistic Regression were used to assess potential predictive variables for patient outcome. Breslow thickness (p= 0,004) and Clark levels (p= 0,047) showed independent value for outcome in patients under the age of 40 vears. The Cellular Proliferation Rate showed a close relation with the desired outcome. When BLR was performed in patients with Breslow 1-2 mm and under the age of forty, the CPR showed an association of 0,7%, if constant was excluded from the grid. CPR may eventually prove itself as an independent variable in a group of seleted patients with intermediate Breslow thickness and young age (under 40 years).

Key words : Melanoma. Celullar Proliferation Rate. Sentinel Lymph Node

LISTA DE ILUSTRAÇÕES

Figura 1 Taxas de variação de incidência anual para os principais	
tipos de tumor a partir dos dados do SEER, calculados pelo NCI	15
Figura 2. Núcleos Celulares em divisão corados pelo marcador Ki 67	21
Gráfico 1. Distribuição da variável Taxa de proliferação celular nos	31

LISTA DE TABELAS

Tabela 1 Características de distribuição das variáveis contínuas	27
Tabela 2 Características de distribuição das variáveis categóricas	28
Tabela 3. Análise Univariada através do Chi-quadrado	29
Tabela 4. Comparação entre os grupos pelo teste de Wilcoxon	30
Tabela 5. Regressão Logística Binária	31
Tabela 6. Comparação entre TPC e LS categorizado por Breslow e Idade	32
Tabela 7. significância do TPC como variável contínua categorizando-se)
por Breslow e Idade	33
Tabela 8. Categorização por TPC > 9 < mitoses (Teste X² e Correlação)	. 33
Tabela 9. Teste de X² e Índice de Correlação (Taxa de proliferação celular > 6 < mitoses/ mm²)	34
Tabela 10. Regressão Logística nos pacientes submetidos a PLS e com idade Inferior a 40 anos	
Tabela 11. Regressão Logística sendo removida a constante	35

LISTA DE ABREVIATURAS, SÍMBOLOS E SIGLAS

AJCC American Joint Comitee on Cancer

BLR Binary Logistic Regression

CIOMS Council for International Organizations of Medical Sciences

CNS Conselho Nacional de Saúde

CPR Celullar Proliferation Rate

DP Desvio Padrão

GBM Grupo Brasileiro de Melanoma

IM Índice Mitótico

IMVC Índice Mitótico Volume- Corrigido

JWCI John Wayne Cancer Institute

TPC Taxa de Proliferação Celular

LDH Desidrogenase Lática

LS Linfonodo Sentinela

mm² Milímetro Quadrado

MMC Melanoma Maligno Cutâneo

MSLT-I Multicenter Selective Lymphadenectomy Trial

PLS Pesquisa de Linfonodo Sentinela

PUCRS Pontifícia Universidade Católica do Rio Grande do Sul

SEER Surveillance Epidemiology and End Result

SLN Sentinel Lymph Node

UV- A Ultravioleta A

X² Qui-quadrado

SUMÁRIO

LISTA DE ABREVIATURAS, SÍMBOLOS E SIGLAS
LISTA DE QUADROS E TABELAS
LISTA DE FIGURAS

RESUMO

1. INTRODUÇAO	13
2.OBJETIVOS	17
3.MÉTODOS	18
3.1 Delineamento, população e amostra	18
3.2 Critérios de Inclusão	19
3.3 Critérios de Exclusão	19
3.4 Variáveis em Estudo	19
3.5 Revisão Anatomopatológica	24
3.6 Análise Estatística	24
3.7 Ética	25
4.RESULTADOS	26
4.1 Taxa de proliferação celular	30
5. DISCUSSÃO	36
5.CONCLUSÕES	43
6. REFERÊNCIAS BIBLIOGRÁFICAS	44

1 INTRODUÇÃO:

O melanoma maligno cutâneo (MMC) é um tumor maligno dos melanócitos, células de origem esctodérmica produtoras de melanina, que promovem a coloração da pele(Melanoma Statistics; Cancer, 2008). Desde os primeiros estudos, publicados na década de 60, sua incidência tem aumentado em 3 a 8% ao ano, correspondendo a 4% dos tumores cutâneos nos EUA(Retsas, 2005) e sendo o oitavo tumor em fregüência nos Estados Unidos da América(Govindarajan, Ghazarian et al., 2007). Apesar de sua incidência não tão alta o MMC é responsável por 75% das mortes por câncer de pele (Cook, 2004). As estatísticas do Instituto Nacional do Câncer dos EUA demonstram que o melanoma é o tumor com o segundo maior aumento de mortalidade entre pacientes acima de 65 anos(Balch, Soong et al., 2001). Este aumento de incidência elevou o melanoma cutâneo a um dos cinco tumores que mais crescem em incidência no mundo (Figura 1.), e afeta hoje, aproximadamente 33000 homens e 26000 mulheres nos Estados Unidos da América(Results, 2008). No Brasil, as estatísticas são mais modestas com uma incidência anual aproximada de 2.950 casos novos em homens e 2.970 em mulheres(Cancer, 2008).

Apesar do aumento em incidência e de um pretenso aumento de mortalidade geral, sua sobrevida vem apresentando alguma melhora. Nos anos sessenta, 60% dos pacientes com diagnóstico de melanoma cutâneo morriam pela doença, contra 11% observados nas últimas estatísticas(Retsas, 2005).

Vários fatores têm sido associados a risco de desenvolver a doença, destacando-se a história familiar, presença de múltiplos e atípicos nevos, história prévia de melanoma, imunossupressão e sensibilidade ao sol, em especial aos raios UV-A(Miller e Mihm, 2006).

O tratamento principal das lesões melanocíticas é através da excisão cirúrgica ampla, que envolve a definição de margens cirúrgicas livres, ainda hoje motivo de controvérsia. Basicamente, nas lesões com

espessura igual ou inferior a 1mm, as margens cirúrgicas laterais e profunda devem ser de 1cm. Para as lesões com espessura superior, a margem mínima recomendada corresponde a 2cm(Thompson, Uren *et al.*, 2003b).

Após tratada a lesão primária, o fator prognóstico isolado mais importante é o estado de comprometimento ou não , da drenagem linfática peritumoral(Morton, Cochran *et al.*, 2005; Van Akkooi, De Wilt *et al.*, 2006; Chakera, Hansen *et al.*, 2008), ou seja, vasos linfáticos com capacidade de transportar células malignas do tumor para nódulos linfáticos e, em última análise, à distância(Thompson e Uren, 2005). A sobrevida em 5 anos dos pacientes com metástase ganglionar aparente é de 20%, em comparação com 50% em pacientes sem este acometimento(Brady, 2004).

O estudo do comprometimento linfático no melanoma cutâneo ocorria, desde 1892, seguindo as recomendações de Snow, via esvaziamento ganglionar eletivo de todos os pacientes acometidos. Em teoria, se a metastatização do melanoma progredia sequencialmente do sítio primário até o linfonodo regional e , a partir daí, para locais mais distantes, a remoção precoce destes linfonodos poderia interromper esta cascata. Estas teorias eram embasadas em estudos realizados por Sappey no final do século XIX e aplicadas até meados da década de 70. Pelo menos três trabalhos demonstraram não existir benefícios, em termos de sobrevida, nos pacientes submetidos a esvaziamento ganglionar eletivo(Morton, Thompson et al., 1999). Além disso, eram tratados incorretamente pelo menos 30% dos casos(Thompson e Uren, 2005). Estas teorias tiveram sua principal mudança na década de 90 quando começou a ser desenvolvido o conceito de Pesquisa de Linfonodo Sentinela (PLS) (Thompson, Uren et al., 2003a; Thompson e Uren, 2005).

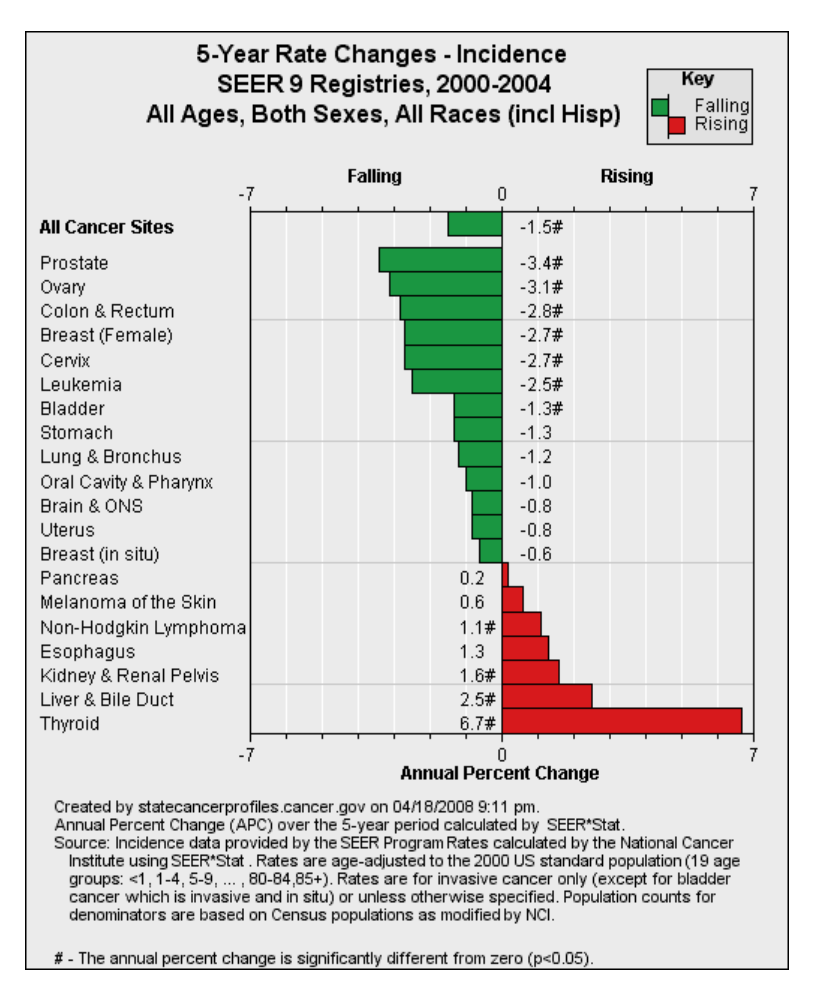


Figura 1. Taxas de variação de incidência anual para os principais tipos de tumor a partir dos dados do SEER, calculados pelo NCI.

Fonte: Surveillance Epidemiology and End Result (SEER)(Results, 2008).

O Linfonodo Sentinela corresponde ao primeiro linfonodo, ou qualquer linfonodo que receba drenagem direta de qualquer tipo de neoplasia maligna(Yee, Thompson *et al.*, 2005). Os primeiros trabalhos, em relação ao seu estudo, iniciaram em meados da década de 90, seguindo as teorias de Morton (Morton, Wen *et al.*, 1992). A racional para a PLS baseia-se na tentativa de diminuição de morbidade cirúrgica ao se evitar um esvaziamento ganglionar eletivo, além de melhorar a acurácia em relação ao *status* linfonodal. A técnica é realizada através do contraste da cadeia linfática correspondente a lesão cutânea e identificação do primeiro linfonodo de drenagem,processo conhecido como *Linfocintigrafia* (*Morton, Wen et al., 1992; Morton, Cochran et al., 2005*).

Uma vez realizada a Linfocintigrafia, o linfonodo identificado como Linfonodo Sentinela é submetido a biópsia excisional. Em até 20% dos casos, o Linfonodo Sentinela é positivo para células do melanoma (Mraz-Gernhard, Sagebiel *et al.*, 1998) ⁷. Estes pacientes que apresentaram teste positivo serão submetidos a esvaziamento ganglionar completo. Os outros 80%, outrora submetidos a procedimento de maior morbidade, serão poupados de nova intervenção cirúrgica(Patel, Coit *et al.*, 2002; Morton, Cochran *et al.*, 2005; Thompson, Scolyer *et al.*, 2005; Govindarajan, Ghazarian *et al.*, 2007).

Dentre os possíveis fatores preditores para positividade de células malignas em linfonodo sentinela de MMC destacam-se a espessura da lesão (Breslow), ulceração, níveis de Clark (IV/V), localização axial, fase vertical de crescimento, idade jovem e taxa de proliferação celular(TPC) das lesões primárias(Mraz-Gernhard, Sagebiel et al., 1998; Thompson e Shaw, 2004; Kesmodel, Karakousis et al., 2005; Kruper, Spitz et al., 2006; Paek, Griffith et al., 2007; Taylor, Patel et al., 2007; Sassen, Shaw et al., 2008). O TPC tem sido relacionado a predição de positividade de linfonodo sentinela, principalmente, nos melanomas ditos finos, ou seja, aqueles com espessura de Breslow < 1mm(Kesmodel, Karakousis et al., 2005; Kruper, Spitz et al., 2006; Paek, Griffith et al., 2007; Sassen, Shaw et al., 2008). Seu significado tem sido relacionado também ao prognóstico geral dos melanomas, além das características primárias da lesão. O TPC é medido através do número de mitoses identificados em uma amostra tecidual de tumor em um milímetro quadrado, ou através do antígeno Ki-67, medido em termos de percentual de positividade em relação ao resto da amostra tecidual(Karjalainen, Eskelinen et al., 1998; Mraz-Gernhard, Sagebiel et al., 1998)...

Neste trabalho serão abordados e estudados conceitos e concepções que envolvem o estádio clínico do melanoma maligno cutâneo, principalmente no que tange as variáveis taxa de proliferação celular do MMC e positividade do Linfonodo Sentinela (LS).

2 OBJETIVOS:

- Determinar a aplicabilidade do Taxa de proliferação celular da lesão primária como fator preditor de positividade do linfonodo sentinela no melanoma maligno cutâneo.
- 2) Estudar as demais características da lesão melanocítica primária e suas relações com a positividade do linfonodo sentinela.

3 MÉTODOS:

3.1 Delineamento, população e amostra

Para a realização do presente trabalho, foi desenvolvido estudo transversal através da análise de dados retrospectivos, coletados pelo Programa Melanoma do Hospital São Lucas da PUCRS, envolvendo uma amostra de pacientes com diagnóstico de melanoma maligno cutâneo, no período que compreendeu os meses de Outubro de 2006 até Novembro de 2008 e submetidos e pesquisa de linfonodo sentinela (PLS).

As características da lesão primária do melanoma maligno cutâneo, bem como a positividade, ou negatividade, do linfonodo sentinela, foram obtidas através da análise dos laudos de exame anatomopatológicos fornecidos pelo Laboratório de Anatomia Patológica do HSL-PUCRS.

Tais laudos são fornecidos, rotineiramente, a partir da análise de amostras de tecido neoplásico, armazenadas no Laboratório de Anatomia Patológica do HSL-PUCRS sob a forma de blocos de parafina.

Tais blocos são preparados sob a forma de lâminas de seis micrômetros de espessura, coradas pela hematoxilina- eosina e marcador imuno-histoquímico Ki 67.

As informações, advindas do estudo de tais lâminas, são anexadas a descrição macroscópica e microscópica da peça cirúrgica visando a informação do médico assistente quanto às características necessárias para definição de prognóstico e tratamento.

As variáveis idade, sexo, cor, localização da lesão, estadiamento e dosagem de Lactato Desidrogenase (LDH) foram obtidas através do banco de dados do Programa Melanoma do Hospital São Lucas da PUCRS.

As características que não puderam ser definidas, conforme proposto acima, foram acessadas por revisão de prontuário.

3.2 Critérios de Inclusão

Foram incluídos os pacientes com diagnóstico prévio de melanoma maligno cutâneo e submetidos a pesquisa de linfonodo sentinela, atendidos no Serviço de Cirurgia Geral do Hospital São Lucas da PUCRS, no período de Outubro de 2006 até Novembro de 2008.

3.3 Critérios de Exclusão

Foram excluídos do estudo os pacientes cujas características da lesão primária não puderam ser acessadas pelas revisões de exame anatomopatológico, banco de dados ou prontuário. Também foram excluídos aqueles pacientes submetidos a excisão da lesão primária com margem superior a 3cm, o que poderia inviabilizar o achados do linfonodo sentinela.

3.4 Variáveis em Estudo

As variáveis analisadas em relação a positividade de linfonodo em pacientes submetidos a pesquisa de linfonodo sentinela foram :

Idade

Tomada tanto como variável contínua quanto categorizada pela média em acima ou abaixo cinqüenta e cinco anos. Outra categoria utilizada foi em acima ou abaixo de 40 anos , baseada em trabalhos prévios como os de Thompson & Shaw (Thompson e Shaw, 2004)

Sexo

Tomada como masculino e feminino

Cor

Categorizada nos grupos branca, negra e asiática.

Taxa de proliferação celular

O TPC foi definido, neste trabalho, como o número de mitoses por milímetro quadrado e avaliado através de exame imuno-histoquímico com o marcador Ki67, contando com uma associação das técnicas descritas na introdução (página 9, linha 25).

O Ki 67 é um marcador de reação antígeno-anticorpo que não está expresso nas células em descanso, porém que promove coloração acastanhada nas células que se encontram em metade da fase G1, fase S, fase G2 e M do ciclo celular (Pearl, Pacifico *et al.*, 2007).

Para a leitura das lâminas submetidas ao método imuno-histoquímico, foi utilizado o método de captura de imagem das áreas com aparente maior número de mitoses por mm2, também chamados "hot spots" (Weidner, 1995). Após a identificação dessas áreas, foi realizada captura de imagem através do sistema óptico Zeiss Axioskop 40 (Oberkohen, Alemanha), com lentes neofluares, conectados através de videocâmera Roper Scientific (Media Cybernetics, Silver Spring, EUA) a um computador Pentium D820 Ghz com 1024 MB de memória RAM, disco rígido de 250 GB e placa de captura Image Pro Capture Kit (Media Cybernetics, Silver Spring, EUA) e analisadas através do programa Image Pro Plus 4.5.

A contagem do número de mitoses foi realizada após magnificação da imagem em 400X (1312 X 1040 pixels) correspondendo a uma área aproximada de 0,76 mm². As células em mitose foram identificadas pela coloração marrom. Foi realizada inserção de grade de correção conforme preconizado por Gundersen et al. , sendo consideradas, para contagem, as células dentro da área grade e que não tocassem a linha pontilhada, cnforme demonstrado na figura 2.(Figura 2).

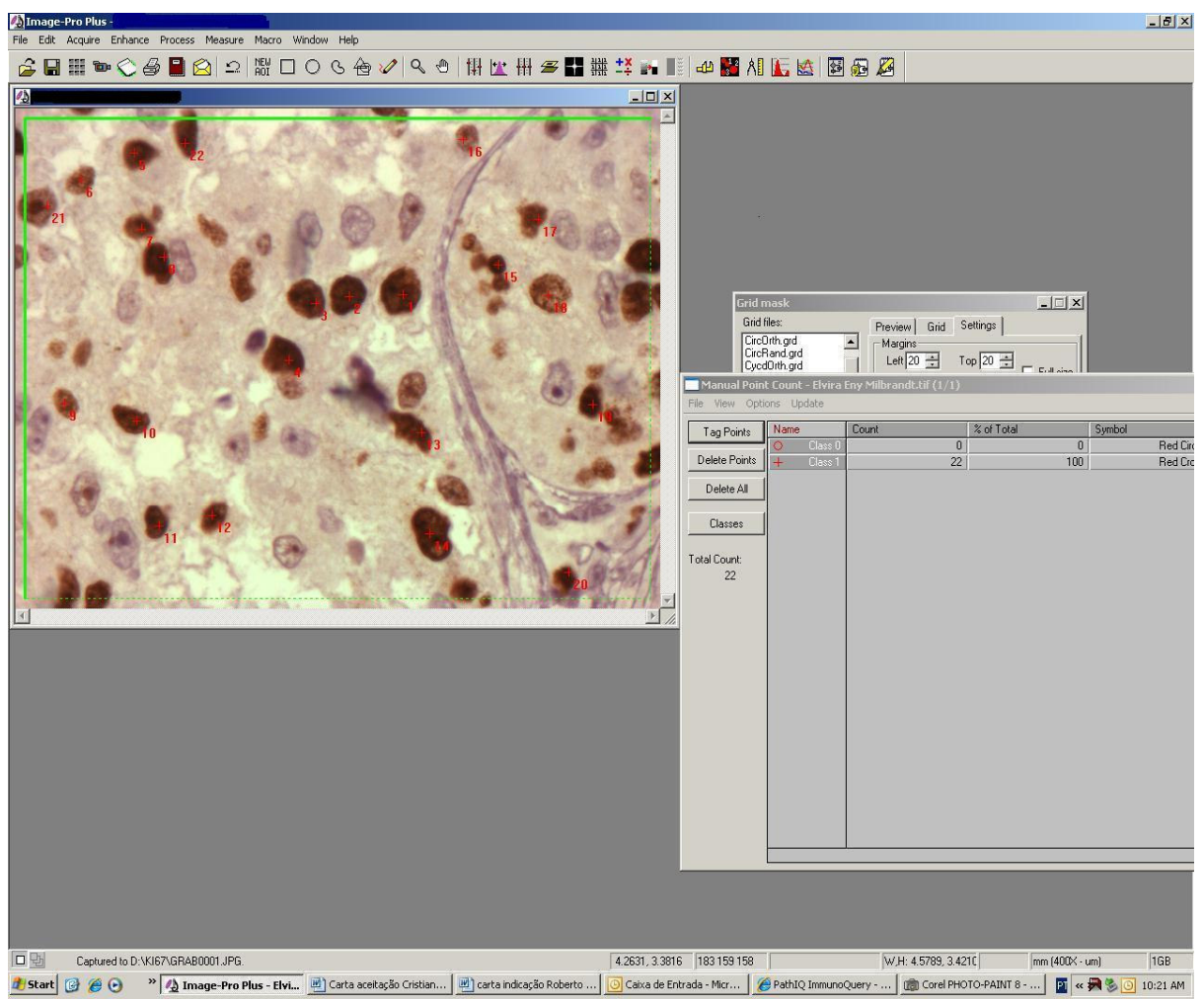


Figura 2. Núcleos Celulares em divisão corados pelo marcador Ki 67 ...

O TPC foi avaliado como variável contínua ou dividido nas categorias > 6 mitoses/ mm² ou <6 mitoses/ mm² e > 9 mitoses/mm² e < 9 mitoses/mm². A divisão em seis mitoses seguiu a descrição original de Clark (Crowson, Magro *et al.*, 2006) e foi coincidente com a mediana. As demais divisões seguiram a média e o desvio padrão.

Localização da Lesão

As localizações utilizadas foram : couro cabeludo, face, tronco, membros superiores, membros inferiores, mãos, pés e pescoço.

Espessura de Breslow

A espessura de Breslow, definida por Alexander Breslow, em 1970 (Breslow, 1970), como a espessura do tumor desde o topo da camada granular na epiderme, ou a base da lesão ulcerada, até o ponto mais profundo da lesão, mensurado em ângulo reto com a epiderme; foi tomada em milímetros e analisada tanto como variável contínua quanto categórica, seguindo os critérios do AJCC.

Níveis de Clark

Os níveis de invasão de Clark foram mensurados seguindo a descrição de Wallace Clark de 1969 (Clark, From *et al.*, 1969).

Histologia

O tipos histológicos foram definidos como tipo Disseminação Superficial, Nodular, Lentigo Maligno, Acral e Desmoplásico.

Ulceração

Definido como a presença de solução de contigüidade .

Linfonodo Sentinela

Definido como positivo, se presença de células tumorais de melanoma no linfonodo, e negativo, se ausência de células de melanoma no linfonodo. Os critérios para realização da PLS estão em acordo com a

normatização do Grupo Brasileiro de Melanoma (GBM) e são : tumores com espessura superior a 0,75mm ou inferior a 0,75mm , mas que apresentem critérios de mau prognóstico como ulceração ou níveis de Clark IV e V . Os linfonodos considerados negativos pelo exame do HE foram submetidos a confirmação através do exame imuno-histoquímico com os marcadores HMB-45 e proteína S-100.

O método utilizado para PLS foi a combinação de linfocintigrafia com 2ml fitato marcado com Tc^{99m} e injeção perilesional, no centro cirúrgico, de 2ml da coloração com Azul Patente. Foi considerado sentinela o linfonodo que apresentasse coloração azul ou atividade radiativa de pelo menos 10% do sítio com maior nível de radiação.(Mcmasters, Wong *et al.*, 2001; Doubrovsky, De Wilt *et al.*, 2004; Kesmodel, Karakousis *et al.*, 2005; Kruper, Spitz *et al.*, 2006; Govindarajan, Ghazarian *et al.*, 2007)

• Imuno-histoquímica

A partir dos tecidos fixados em formalina e incluídos em parafina das peças tumorais selecionadas, cortes com espessura de 3 μm foram submetidos à recuperação antigênica em microondas por 20 minutos, utilizando tampão citrato, pH 6 (10 mM). O bloqueio da peroxidase endógena será feito utilizando-se solução de peridrol a 3% (H2O2 em álcool metílico) por 30 minutos. Os cortes foram imersos em solução de leite em pó desnatado a 5% em tampão PBS ("Phosphate-binding saline") por 30 minutos para diminuir a coloração de fundo (background). As secções serão incubadas com anticorpo monoclonal de camundongo anti-Ki67 (Clone MM1, Novocastra Laboratories Ltd, Newcastle, UK) com diluição de 1:250. O sistema de detecção utilizado será o Kit HRP Polymer Max (Zymed, Invitrogen, USA), seguindo orientação do fabricante. Os cortes serão revelados usando-se cromógeno 3,3'-diaminoazobenzidina (DAB+)(Dako, Denmark) e contracorados com

hematoxilina, sendo desidratados, clarificados e, finalmente, montados com bálsamo e lamínula.

LDH

Definido como a dosagem de *Desidrogenase Lática* no sangue periférico. Seu significado tem sido associado a piora do prognóstico quando de alto valor aferido. Na amostra aferida, a variável foi testada como variável continua e testada com divisões por média e desvio padrão, gerando as categorias : até 150 UI/dI , 150-292 UI/dI, 292-434 UI/dI, 434-576 UI/dI, 576-718 UI/dI e 718-860 UI/dI.

3.5 Revisão Anatomopatológica

A revisão das lâminas correspondentes a lesão primária, bem como do linfonodo sentinela e a taxa de proliferação celular, foi realizada pelo mesmo médico patologista, que não apresentava envolvimento com o projeto de pesquisa e não sabia dos resultados do LS.

3.6 Análise Estatística

Foi realizada análise descritiva em todas as variáveis, sendo realizado teste de normalidade de Kolmogorov-Smirnov nas variáveis contínuas. Nenhuma das variáveis apresentou distribuição normal, sendo, portanto, comparadas ao desfecho Positividade do Linfonodo Sentinela por teste de Qui-quadrado. Todas as variáveis foram divididas em dois grupos levando em consideração o desfecho. Estes grupos foram comparados pelo teste de Wilcoxon, visando avaliação de possíveis vieses de seleção.

As variáveis que apresentaram significância estatística no teste de X², definida por P inferior a 0,05, foram alocadas para participação no grid

de Regressão Logistica Binominal pelo método *Forward Stepwise Conditional*(Cox, 1972), visando definição de contribuição independente das características para o desfecho.

As variáveis numéricas idade, Breslow e Taxa de proliferação celular foram analisadas tanto de maneira contínua quanto divididas em categorias, conforme já descrito em métodos.

O TPC foi alocado obrigatoriamente no grid.

Todas as análises, gráficos e tabelas foram realizadas através dos programas Microsoft Excel 2003 e SPSS v. 13.0 para windows.

O nível de significância adotado foi de 5% (P<0,05).

3.7 Ética

Este estudo encontra-se em conformidade com os itens III.3.i e III.3.t das Diretrizes e Normas Regulamentadoras de Pesquisas envolvendo Seres Humanos (Resolução CNS 196/96), bem como a diretriz 12 das Diretrizes Éticas Internacionais para Pesquisas Biomédicas envolvendo Seres Humanos (CIOMS 1993), sendo aprovado pelo Comitê de Ética em Pesquisa da Pontifícia Universidade Católica do Rio Grande do Sul, sob o protocolo de número CEP 08/04235.

4. RESULTADOS

Cento e nove paciente, no período que compreendeu Outubro de 2006 a Novembro e 2008, foram tratados, pelo Programa Melanoma do Hospital São Lucas da PUCRS. As características gerais de distribuição da amostra estão resumidas nas tabelas 1 e 2 . Destes, cinquenta e oito pacientes (53,2%) foram submetidos a pesquisa de linfonodo sentinela, sendo nove pacientes (15,8%) positivos. A média de idade foi de 52,94 anos (DP= 15,77), sendo o mais novo vinte e cinco anos anos e o mais velho noventa anos . Sessenta e sete pacientes (61,5%) pertenciam ao sexo feminino e quarenta e dois (38,5%) ao sexo masculino. Em relação a cor da pele, de cento e seis pacientes cuja informação estava disponível, cento e dois (97,2%) pertenciam a cor branca, enquanto que dois pacientes (1,9 %) pertenciam cor negra e um paciente (0,9 %) a etnia asiática. A localização mais freqüente das lesões foi o tronco (53,3 %). De cento e seis pacientes válidos, quarenta e dois (39,6 %) apresentavam espessura de Breslow até 1mm. Os outros sessenta vírgula quatro por cento dividiam-se em 1-2 mm (10,4%), 2-4 mm (24,5 %) e > 4mm (25,5 %). Quatro pacientes, de cento e oito (3,7 %), pertenciam a categoria Clark I , sendo o mais fregüente o Clark IV O tipo histológico mais prevalente foi o espalhamento (31,5 %). superficial, representando cinquenta e cinco (52,5%) de 105 pacientes válidos. A maioria dos pacientes (67 %), apresentavam lesão não ulcerada.

A média do LDH, coletado pré- operatoriamente, foi de $434,45 \, \text{UI/ dI} \, (\text{DP} = 142 \, \text{UI/ dI}).$

A maioria dos pacientes foi procedente da região metropolitana (52,8 %), seguida pela região serrana (17%).

Os grupos, sentinela e não sentinela, não apresentaram diferença estatística entre si pelo teste de Wilcoxon (Tabela 4), a não ser na variável Breslow, o que é explicado nos critérios de inclusão e exclusão.

Nenhuma das variáveis estudadas apresentou distribuição normal pelo teste de Kolmogorov-Smirnov.

Tabela 1. Características de distribuição das variáveis contínuas.

rabeia 1. Caracteristicas de distribuição das variaveis continuas.							
		ldade	Breslow	Taxa de	LDH Pré		
				proliferação	Operatório		
				celular			
N	Válidos	107	96	90	78		
	Faltantes	0	11	17	29		
Média		53,20	3,41	9,60	434,44		
DP		15,72	4,17	10,36	142,026		
Assimetria		,057	2,46	1,41	,421		
Curtose		-,782	7,80	1,08	1,92		
Mínimo		25	,00	0	128		
Maximo		90	25,00	43	959		

Tabela 2. Características de distribuição das variáveis categóricas.						
Característica		Freqüência(n)	Percentual (%)			
Sexo(n=107)	Masculino	42	39,3			
	Feminino	65	60,7			
0-2(- 404)	Total	107	100,0			
Cor(n= 104)	Negro	2	1,9			
	Branco	100	96,2			
	Asiático	2	1,9			
Local(n= 107)	C. Cabeludo	3	2,8			
	Face	3	2,8			
	Tronco	57	53,3			
	MsSup.	13	12,1			
	Ms Inf	21	19,6			
	Mãos	1	,9			
	Pés	7	6,5			
	Pescoço	2	1,9			
Breslow(n= 105)	Até 1mm	41	39,0			
	1-2 mm	11	10,5			
	2-4mm	27	25,7			
	> 4mm	26	24,8			
Clark (n= 107)	1	4	3,7			
	II	27	25,2			
	III	28	26,2			
	IV	34	31,8			
	V	14	13,1			
	Total	107	100,0			
Histologia (n= 104)	Nodular	35	33,7			
	Esp. Superficial	55	52,9			
	Lentigo	4	3,8			
	Maligna Acral	10	9,6			
	Total	104	100,0			
Ulceração (n= 105)	Ulcerado	34	32,4			
	Ñ Ulcerado	71	67,6			
Sentinela (n=105)	Sim	58	55,2			
	Não	47	44,8			
Resultado LS (n=57)	Positivo	8	14,0			
	Negativo	49	86,0			

Realizando-se a análise univariada de todas as características, buscando-se associação com o desfecho positividade do linfonodo sentinela, apenas as variáveis níveis de Clark e Estadiamento mostraram siginificância abaixo de 5% (Tabela 3)

Tabela 3. Análise Univariada através do Chi-quadrado

Variável	Chi-Quadrado	GL	р
Idade			
Contínuo	31,44	31	0,444
> ou < 40 anos	0,151	1	0,698
> ou < 55 anos	2,99	1	0,083
Sexo	2,24	1	0,135
Col	0,517	1	0,772
Localização	2,88	3	0,409
Breslow			
Contínuo	46,95	40	0,209
Categórico	7,000	3	0,072
Clark	10,45	3	0,015
Histologia	1,131	3	0,770
Ulceração	0,076	1	0,783
TPC			
Contínuo	18,374	19	0,494
> ou < 6 mit./mm ²	0,211	1	0,460
> ou < 9 mit./mm ²	0,488	1	0,370
Estadiamento	41,84	6	0,0001

Tabela 4. Comparação entre os grupos pelo teste de Wilcoxon

		Idade	Sexo	Cor	Local	Breslow	Clark	Histologia	ulceração	TPC	LDH
Wilcoxon W Z Asymp. Sig. (2-t	ailed)	2871,500 -1,470 ,142	2516,000 -,390 ,697	2386,500 -,643 ,520	2310,000 -1,791 ,073	1544,000 -2,482 ,013	2228,000 -1,754 ,079	2877,500 -,048 ,962	2367,500 -,622 ,534	1443,500 -,598 ,550	1429,000 -1,336 ,182
95% Confidence Interval	Lower Bound	,137	,837	,605	,067	,010	,078	,982	,665	,547	,176
	Upper Bound	,151	,851	,624	,077	,014	,089	,987	,683	,567	,191

4.1 Taxa de proliferação celular

A TPC, quando analisada como variável numérica contínua , não apresentou distribuição normal, com média de 9,64 mitoses /mm², mediana de 6 mitoses/mm² e desvio padrão de 10,35 mitoses/ mm² . A amplitude variou entre zero e 43 mitoses. A curva do gráfico demonstrou assimetria positiva com índice de 1,395 e curtose de 1,043, sendo, portanto, platicúrtica (Gráfico 1). Não houve relação significativa entre o TPC e as outras variáveis aferidas candidatas ao grid da regressão logística.

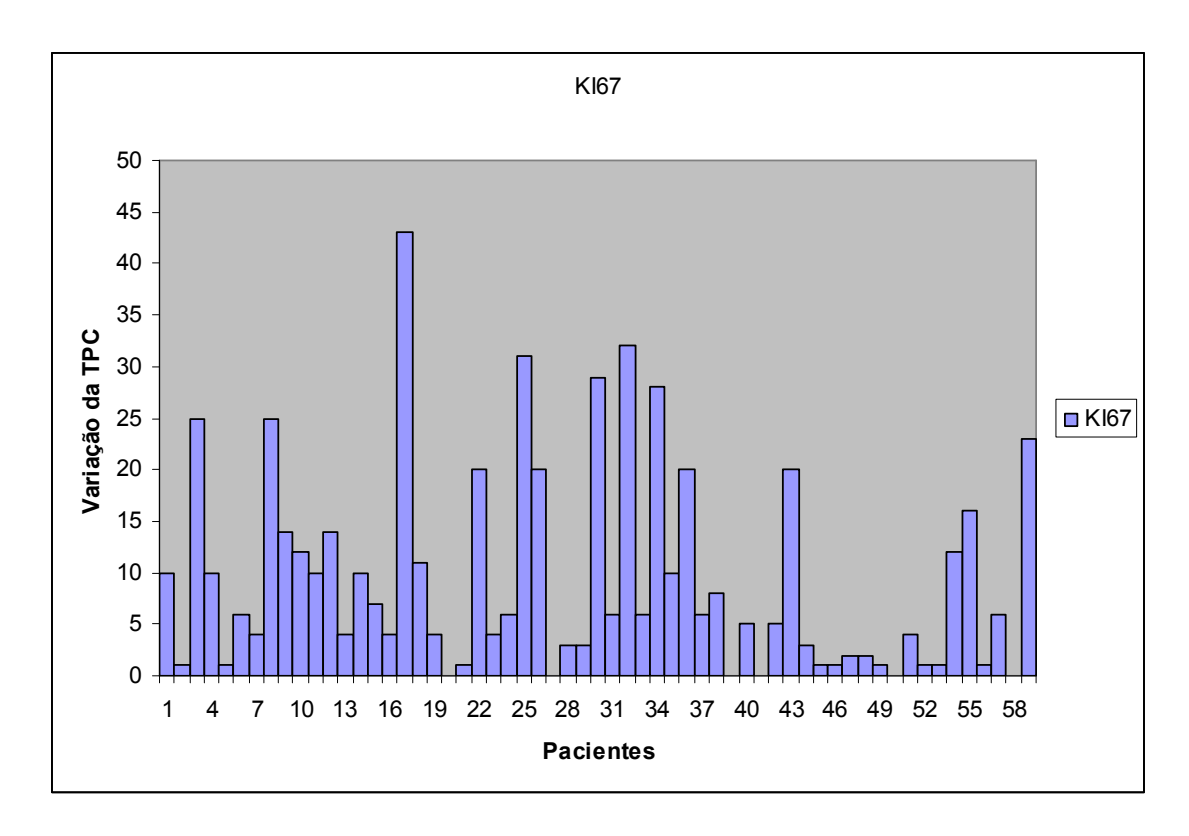


Gráfico 1. Distribuição da variável Taxa de proliferação celular nos pacientes submetidos a PLS

Não houve relação entre o TPC e a positividade do linfonodo sentinela quando realizada análise univariada pelo método do X². Tal fenômeno ocorreu tanto na avaliação como variável contínua, quanto como variável categórica. As classes foram divididas tanto pela média e desvio padrão (9 mitoses), quanto pela mediana (6 mitoses).(Tabela 3).

Ao se realizar a análise multivariada pela técnica de Regressão Logística Binária, nenhuma das variáveis que participaram da regressão apresentaram relação com o desfecho quando utilizado o método *enter*. Ao se utilizar o método forward stepwise, a única variável que demonstrou relação com a positividade do linfonodo sentinela foi a espessura de breslow, mesmo assim com p = 0,126 (Tabela 5).

Tabela 5. Regressão Logística Binária

Step 1(a)	Breslow	B -,572	S.E. ,374		GL 1	p 0,126
	Constante	5,242	1,895	7,651	1	0,006

Ao se realizar o teste do X² relacionando o taxa de proliferação celular com linfonodo sentinela, mas separando-se os grupos pela espessura de breslow e pela idade superior ou inferior a 40 anos, percebe-se que não existem valores positivos de LS nos pacientes com espessura da lesão abaixo de 1mm (Tabela 6)

Idade	Breslow			Sentinela	Sentinela	Total
				Positivo	Negativo	
até	Até	Ind.	3	*	1	1
40	1mm	Mitótico	4	*	1	1
anos			10	*	1	1
		Total			3	3
mais	Até	Ind.	0	*	1	1
de 40	1mm	Mitótico	1	*	2	2
anos			3	*	1	1
			4	*	1	1
			10	*	1	1
			11	*	1	1
			14	*	1	1
			20	*	1	1
		Total			9	9

^{*} Ausência de valores computados para a célula

Nos pacientes com lesão superior a 1mm de espessura, a significância foi superior a 5%, quando tomado o TPC por intervalo contínuo, não importando a categoria abaixo ou acima de 40 anos (p = 0,136 e p = 0,261 respectivamente)(Tabela 7).

Tabela 7. significância do TPC como variável contínua categorizando-se por Breslow e Idade

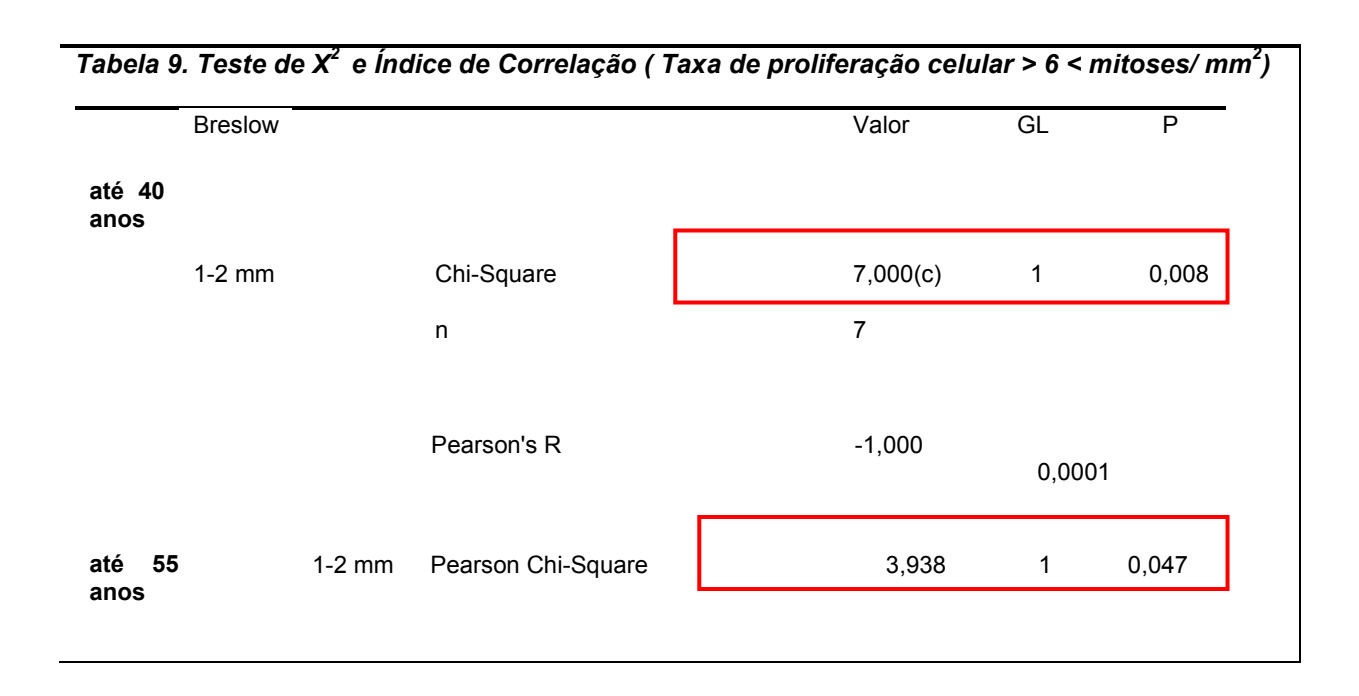
Idade	Breslow	Chi- Quadrado	gl	Р
até 40 anos	Até 1mm	*	*	*
	1-2 mm	7,0	4	0,136
	2-4mm			
	> 4mm	3,0	2	0,223
mais de 40 anos	Até 1mm	*	*	*
	1-2 mm	4,0	3	0,261
	2-4mm	5,83	9	0,756
	> 4mm	8,000(f)	6	0,238

^{*} Ausência de valores computados para as células

No entanto, ao se categorizar o indice Mitótico em acima ou abaixo de 9 mitoses/ mm², verifica-se relação inferior a 5 % nos casos com espessura da lesão entre 1-2mm, tanto naqueles pacientes com menos de 40 anos de idade(p= 0,008) ,quanto naqueles com menos de

Tabela 8. Categorização por TPC > 9 < mitoses (Teste X ² e Correlação)					
	Breslow		Valor	GL	Р
até 40 anos					
	1-2 mm	Chi-Quadrado	7,000(c)	1	0,008
até 55 anos	1-2 mm	Chi-Quadrado	3,938	1	0,047
		n	9		
		Pearson's R	-0,661		0,052
		Spearman	-0,661		0,052

Ao se categorizar o Taxa de proliferação celular em > 6 mitoses/ mm² e < 6 mitoses/ mm² , o mesmo fenômeno é observado, com uma relação significativa no grupo com espessura de Breslow entre 1-2 mm (Tabela 9)



Em relação a Regressão Logística, quando utilizado o método *Enter*, não foram incluídas na equação, pelo programa estatístico, nenhuma das variáveis com significância na análise univariada, sendo incluída apenas a constante. Ao se realizar o mesmo processo, no entanto, pelo *método Stepwise Forward Conditional*, as variáveis incluídas foram Breslow, Clark e, no terceiro passo, o Taxa de proliferação celular. Os grupos foram divididos quanto a haverem realizado a *pesquisa do linfonodo sentinela* e apresentarem idade até 40 anos. O Taxa de proliferação celular foi incluída na equação dividida em menor ou maior do que 9 mitoses/mm², visto que, na análise univariada não houve diferença com a divisão em maior ou menor do que seis mitoses. O TPC não apresentou modificação significativa de predição do desfecho e não pôde

ser considerado, portanto, como variável independente para a predição de positividade do linfonodo sentinela (Tabela 10). Esta predição, no entanto, passa a ser acentuada quando removida a constante (Tabela 11).

Tabela 10. Regressão Logística nos pacientes submetidos a PLS e com idade inferior a 40 anos.

		В	S.E.	Wald	GL	р	Exp(B)
Step 1(a)	Breslow	-0,399	0,141	8,073	1	0,004	0,671
	Constant	3,287	0,785	17,553	1	0,000	26,756
Step 2(b)	Breslow	-0,326	0,181	3,251	1	0,071	0,722
	clark	-2,133	1,076	3,929	1	0,047	0,118
	Constant	11,185	4,397	6,472	1	0,011	72048,776
Step 3(c)	Breslow	-,479	0,271	3,109	1	0,078	0,620
	clark	-4,792	2,897	2,736	1	0,098	0,008
	Taxa de proliferação celular	,954	0,542	3,101	1	0,078	2,597
	Constant	20,225	11,448	3,121	1	0,077	60756126 4,871

a variáveis incluídas no bloco 1: Breslow

Tabela 11. Regressão Logística sendo removida a constante.

	Variável	Model Log Likelihood	Change in -2 Log Likelihood	GL	р
Step 1	Breslow	-21,883	11,588	1	0,001
Step 2	Breslow	-14,580	3,986	1	0,046
	clark	-16,454	7,735	1	0,005
Step 3	Breslow	-12,725	6,071	1	0,014
	clark	-17,141	14,904	1	0,000
	Taxa de proliferação celular	-13,311	7,243	1	0,007

Quando realizada a técnica de regressão tomando-se a idade por superior ou inferior a 55 anos, a variável Taxa de proliferação celular não participou da equação.

b variáveis incluídas no bloco 2: clark.

c variáveis incluídas no bloco 3:. Taxa de proliferação celular

5 DISCUSSÃO

O melanoma maligno cutâneo vem sendo conhecido por muitos cirugiões ao longo dos anos como uma neoplasia maligna de comportamento, praticamente, imprevisível .

Estudos prévios, têm tentado identificar os principais fatores associados a prognóstico. Desde algum tempo, vem sendo procurada uma correlação entre características da lesão primária e a curva de sobrevida(Clark, From et al., 1969; Breslow, 1970). Na análise de fatores prognósticos realizada pelo *Joint Comittee on Cancer*, publicada em 2001, e envolvendo 17600 pacientes em treze centros mundiais de referência, Balch et al., em um dos poucos estudos prospectivos envolvendo melanoma, concluíram que a espessura da lesão e a presença de ulceração são os principais fatores relacionados a mortalidade. Com associação menos expressiva, também encontravamse o nível de invasão(Clark IV e V),a idade mais elevada (> 60 anos), a localização da lesão primária (Tronco e Cabeça e Pescoço) e o sexo, com uma discreta piora de prognóstico entre os homens(Balch, Soong et al., 2001).

O próximo fator prognóstico com maior importância, uma vez definido o Breslow e a Ulceração, é a presença ou ausência de comprometimento ganglionar. Este dividido em micro e macro metástase (Balch, Soong *et al.*, 2001; Thompson e Shaw, 2004; Morton, Cochran *et al.*, 2005; Minutilli, Giannarelli *et al.*, 2007).

Até meados da década de 90, a avaliação do estado de comprometimento ou não da cadeia ganglionar ocorria através do esvaziamento ganglionar eletivo. Em 1992, Morton e seus colaboradores publicaram o trabalho que é tido até hoje como marco fundamental na pesquisa minimamente invasiva de comprometimento linfático através da biópsia de *Linfonodo Sentinela*(*Morton, Wen et al., 1992*). Este último, já adjetivado por Wagner e Sondak, em um editorial publicado em 2002,

como " mais do que um linfonodo azul", sendo uma clara entidade biológica composto de células imunocompetentes com capacidade antigênica tumoral.(Wagner e Sondak, 2003; Minutilli, Giannarelli *et al.*, 2007)

Retornando aos trabalhos de Morton, em estudo multicêntrico envolvendo 1135 pacientes, encontrou associação entre a positividade de doença metastática no linfonodo sentinela correspondente e idade abaixo de 60 anos, a espessura da lesão acima de 1,5 milímetros, os níveis de invasão em IV e V ,além da localização em tronco,(Morton, Thompson et al., 1999). Mais tarde, o próprio Morton, em estudo multicêntrico randomizado envolvendo 797 pacientes selecionados para excisão da lesão e observação, enquanto outros 1204 foram selecionados para ampliação e PLS, concluiu que o linfonodo sentinela pode, acuradamente, predizer o status linfonodal do doente, sendo, inclusive custo-efetivo, quando comparado a oitenta por cento de linfadenectomias desnecessárias.(Morton, Cochran et al., 2005; Morton, Howard et al., 2008) Outros estudos, mais adiante, foram capazes de demonstrar um claro ganho se sobrevida em pacientes submetidos a pesquisa de linfonodo sentinela, principalmente no que tange o intervalo livre de doença(Cascinelli, Belli et al., 2000; Crowson, Magro et al., 2006; Morton, Thompson et al., 2006).

O que sempre intrigou a todos os autores foi : quais são os fatores associados a positividade do linfonodo sentinela ?

Esta pergunta, respondida parcialmente pelo MSLT-1, teve vários desdobramentos.

Em 1998, Mraz- Gernhard em relato envolvendo 215 pacientes, propôs a associação entre a espessura da lesão, em especial acima de 3 mm, e o índice mitótico, acima de 5 mitoses/ mm², com a positividade de linfonodo sentinela(Mraz-Gernhard, Sagebiel *et al.*, 1998). Morton et al, em estudo multicentrico conduzido entre 1994 e 1999, analisaram um total de 1135 pacientes selecionados do MSLT-I e do John Wayne Câncer Institute (JWCI). A conclusão foi de que os fatores relacionados a positividade do LS foram idade jovem (abaixo de 60 anos), lesão espessa (1,5mm – 4 mm), Clark IV e V, além da localização no tronco(Morton,

Thompson et al., 1999). Sondak, em estudo envolvendo 429 pacientes, elaborou modelo probabilístico de positividade de linfonodo sentinela, destacando-se as variáveis idade abaixo de 35 anos, breslow acima de 4mm, presença de ulceração e índice mitótico acima de 5 mitoses/mm² (Sondak, Taylor et al., 2004). Outro que obteve resultados semelhantes foi Wagner com um estudo envolvendo 275 pacientes. Neste trabalho, um percentual de positividade de linfonodo sentinela de 19% foi encontrado. Entre as variáveis avaliadas, foi encontrada associação com a espessura de breslow (em torno de 1,25 mm) e o índice mitótico acima de 6 mitoses/ mm². Fato interessante, é que a espessura da lesão apresentou resultados significativos tanto quando avaliada como variável contínua quanto dividida em categorias. No entanto, utilizando-se o método analítico de regressão logística, ao se incluir na equação a espessura da lesão como categoria, não houve significância do índice mitótico. Por outro lado, ao se incluir a espessura da lesão como variável contínua, o IM foi significativo. Outra variável que apresentou desempenho independente foi a presença ou ausência de ulceração(Wagner, Gordon et al., 2000).

Baseados nestes relatos, vários pesquisadores começaram o estudo mais aprofundado de uma variável, inicialmente não tão valorizada, que, devido aos resultados expressivos encontrados em análises multivariadas, cresceu em importância no cenário do melanoma maligno cutâneo. Esta variável é a taxa de proliferação celular.

Karjalainen, em estudo retrospectivo conduzido entre 1974 e 1989 , e envolvendo 369 pacientes, analisou o valor da TPC no prognóstico de pacientes com MMC (Karjalainen, Eskelinen *et al.*, 1998). Em seu trabalho, a TPC foi avaliada através do Índice Mitótico , medido em número de mitoses a cada dez campos de grande aumento. Outro parâmetro estudado foi o *IM por volume corrigido* (IMVC) , ou seja, o número de figuras mitóticas em cada milímetro quadrado de tecido neoplásico. Os resultados encontrados apontaram, entre outras coisas, uma associação entre o IM e o IMVC como preditores de sobrevida , quando excluídos ítens com maior peso como espessura e ulceração. O

IMVC se mostrou um melhor parâmetro de previsão do intervalo livre de doença. Azzola et al, também realizando estudo retrospectivo envolvendo 3661 pacientes, encontraram correlação positiva entre o número de mitoses e a piora do prognóstico. Além disso, esta correlação foi mais exuberante quando o IM foi avaliado enquanto variável categórica do que variável contínua.(Azzola, Shaw *et al.*, 2003).

Outra relação estudada do índice mitótico, já citada na discussão, foi com a positividade do linfonodo sentinela. Kesmodel et al, em estudo prospectivo conduzido na Filadélfia, analisaram 2123 casos, na tentativa de estabelecer fatores preditores de positividade do LS em pacientes com espessura de Breslow inferior a um milímetro (Kesmodel, Karakousis et al., 2005). Este estudo, baseado no fato de que a mortalidade neste grupo de pacientes é da casa de 12%, tentou estabelecer características da lesão primária que tornassem imperativo a pesquisa do linfonodo sentinela neste grupo que, teoricamente, não apresentariam indicação clínica para realização do procedimento. A associação encontrada foi entre o IM acima de 0 mitoses/mm² e a positividade de linfonodo sentinela. Também Kruper, estudando pacientes com melanoma em estágios I e II do AJCC, encontrou relação entre o IM acima de zero e a positividade do LS em pacientes com espessura da lesão abaixo 1mm. Vários outros trabalhos também encontraram associação entre o índice mitótico elevado e a positividade de linfonodo sentinela, especialmente em pacientes jovens e com espessura de Breslow entre 1-2 milímetros(Wagner, Gordon et al., 2000; Minutilli, Giannarelli et al., 2007; Paek, Griffith et al., 2007; Pearl, Pacifico et al., 2007). Minutilli et al., propõem, inclusive, um papel terapêutico na biópsia de LS neste grupo de pacientes, visto que, pacientes com menor espessura da lesão apresentam uma menor tendência à metastatização hematogênica, sendo a via linfática a preferencial e, portanto, a remoção de linfonodos comprometidos teria influência na sobrevida.

Em relação ao método de avaliação da taxa de proliferação celular, o mais popularizado é a mensuração do índice mitótico. Alguns autores publicaram seus trabalhos levando em consideração a contagem

de mitoses em dez campos de grande aumento.ampliado em 40 vezes.(Wagner, Gordon et al., 2000) Este método é pouco utilizado, pois, já há varios anos, foi demonstrada uma taxa de variação entre os achados de até 600% dependendo do material utilizado(Ellis e Whitehead, 1981).Outros levaram em consideração o número de mitoses em cada milímetro quadrado de tecido neoplásico (Crowson, Magro et al., 2006; Minutilli, Giannarelli et al., 2007; Paek, Griffith et al., 2007; Sassen, Shaw et al., 2008). Outro método de avaliação da TPC, explorada por alguns pesquisadores, foi a utilização do marcador imuno-histoguímico Ki-67. Como já citado em métodos, o Ki-67 é uma proteína capaz de marcar um reação nuclear antígeno-anticorpo em células que se encontram, principalmente, nas fase G2, S e M do ciclo celular. Estas células adotam a coloração acastanhada de seus núcleos, podendo ser mensuradas, em termos percentuais, em relação a área de tecido não marcado. Neste trabalho, foi realizada a opção por uma combinação de técnicas em que as figuras de mitose marcadas pelo Ki-67 foram contadas em uma área 0,76 milímetros quadrados.

No presente estudo, de modo semelhante a outras descrições, foi procurada associação entre as variáveis e a positividade do LS. Foi realizada, previamente a regressão logística,a análise univariada, visando seleção das variáveis para o grid. Diferentemente de outros trabalhos, apenas os níveis de Clark apresentaram associação com o desfecho procurado (Tabela 3). Provavelmente isto deve-se a um viés de seleção da amostra, visto tratar-se de um número pequeno de pacientes.

Já na análise multivariada, a exemplo de outros estudos, a espessura de Breslow foi a variável que mostrou o maior nível de associação (Tabelas 5 e 6). Ao ajustar-se a regressão, mantendo-se fixos a idade e os níveis de breslow, a taxa de proliferação celular passou a apresentar papel de destaque na explicação do desfecho procurado.

O interessante da presente discussão, é que foram obtidos resultados muito semelhantes aos encontrados nos trabalhos de Morton (Morton, Cochran *et al.*, 2005), McMasters (Mcmasters, Wong *et al.*, 2001), Caracó (Caraco, Marone *et al.*, 2006), Sassen (Sassen, Shaw *et*

al., 2008) e Paek (Paek, Griffith et al., 2007), em que pareceu haver uma associação entre a presença de metástases no linfonodo sentinela e a idade mais jovem (35 a 50 anos), a espessura de Breslow intermediária (1,2 – 4 mm) e uma taxa de proliferação celular acima de 5 ou 6 mitoses/mm².

O achado de uma alta espessura de breslow , maior do que 4mm, dada a possibilidade de invasão maciça tumoral do sistema de drenagem linfática e dos gânglios, contribui para a obtenção de resultados falso-negativos. Isto explicaria, em parte, o porque de pacientes mais jovens apresentarem uma maior incidência de linfonodos positivos. Dado que a média de espessura tumoral em pacientes jovens (abaixo de 35 anos) é menor do que em pacientes mais velhos (acima de 60 anos)(Bleicher, Essner et al., 2003; Sassen, Shaw et al., 2008) e que a replicação celular em jovens é, naturalmente, superior a de pacientes idosos(Sondak, Taylor et al., 2004); explicam-se as associações encontradas no presente trabalho. Sondak(Sondak, Taylor et al., 2004), revisando 429 pacientes, demonstrou, em modelo probabilístico, que em pacientes com idade inferior a 35 anos e alto índice de mitoses existe uma alta probabilidade de positividade do LS , tanto em pacientes com espessura de 1mm, quanto em pacientes com espessura de 7 mm.

É bem verdade, que, devido ao pequeno número de pacientes até agora incluídos no estudo, os achados estatísticos não tenham sido tão consistentes quanto em outros trabalhos com achados semelhantes. A idéia é de que, mesmo não existindo um número ideal de pacientes para que seja possível a realização de análise multivariada, resultados muito mais confiáveis poderão ser obtidos com um ene aproxiamado de 450 pacientes. Este número é baseado na idéia de que seriam necessários, no mínimo, 30 pacientes com pesquisa de linfonodo sentinela positiva para que fosse possível uma maior generalização dos resultados. No presente trabalho este número foi de apenas oito pacientes, estando sujeito, por tanto, a pequenos vieses de seleção.

No entanto, tal associação parece, de fato, existir, o que provavelmente poderá ser comprovado com o aumento do número de pacientes em estudo.

6 CONCLUSÕES:

- 1) O taxa de proliferação celular não demonstrou comportamento de variável independente em relação ao desfecho positividade de linfonodo sentinela. Possivelmente, em grupos bem selecionados, como pacientes jovens e com lesões de espessura intermediária (1-2 mm), o taxa de proliferação celular seja um boa ferramenta na indicação da biópsia do linfonodo sentinela.
- 2) Pelo presente estudo, não há qualquer variável, entre as estudadas, através do qual se possa prescindir da biópsia ganglionar, dadas as características da lesão primária. A única variável que demonstrou característica independente de predição de linfonodo sentinela, conforme visualizado no grid de regressão, foi a espessura de Breslow.

6 REFERÊNCIAS BIBLIOGRÁFICAS

- Azzola, M. F., H. M. Shaw, *et al.* Tumor mitotic rate is a more powerful prognostic indicator than ulceration in patients with primary cutaneous melanoma: an analysis of 3661 patients from a single center. <u>Cancer</u>, v.97, n.6, Mar 15, p.1488-98. 2003.
- Balch, C. M., S. J. Soong, *et al.* Prognostic factors analysis of 17,600 melanoma patients: validation of the American Joint Committee on Cancer melanoma staging system. <u>J Clin Oncol</u>, v.19, n.16, Aug 15, p.3622-34. 2001.
- Bleicher, R. J., R. Essner, *et al.* Role of sentinel lymphadenectomy in thin invasive cutaneous melanomas. J Clin Oncol, v.21, n.7, Apr 1, p.1326-31. 2003.
- Brady, M. S. Sentinel lymph node mapping in patients with cutaneous melanoma. <u>Dermatol Surg</u>, v.30, n.2 Pt 2, Feb, p.272-8. 2004.
- Breslow, A. Thickness, cross-sectional areas and depth of invasion in the prognosis of cutaneous melanoma. Ann Surg, v.172, n.5, Nov, p.902-8. 1970.
- Cancer, I. N. D. Estatisticas do Câncer 2008 2008.
- Caraco, C., U. Marone, et al. Age as predictor in patients with cutaneous melanoma submitted to sentinel lymph node biopsy. <u>Eur J Surg Oncol</u>, v.32, n.9, Nov, p.970-3. 2006.
- Cascinelli, N., F. Belli, *et al.* Sentinel lymph node biopsy in cutaneous melanoma: the WHO Melanoma Program experience. <u>Ann Surg Oncol</u>, v.7, n.6, Jul, p.469-74. 2000.
- Chakera, A. H., L. B. Hansen, *et al.* In-transit sentinel nodes must be found: implication from a 10-year follow-up study in melanoma. <u>Melanoma Res</u>, v.18, n.5, Oct, p.359-64. 2008.
- Clark, W. H., Jr., L. From, *et al.* The histogenesis and biologic behavior of primary human malignant melanomas of the skin. <u>Cancer Res</u>, v.29, n.3, Mar, p.705-27. 1969.
- Cook, J. Surgical margins for resection of primary cutaneous melanoma. <u>Clin Dermatol</u>, v.22, n.3, May-Jun, p.228-33. 2004.
- Cox, D. Regression Models and Life-Tables. <u>Journal of the Royal Statistical Society</u>, v.34, n.2, p.187-220. 1972.
- Crowson, A. N., C. M. Magro, *et al.* Prognosticators of melanoma, the melanoma report, and the sentinel lymph node. <u>Mod Pathol</u>, v.19 Suppl 2, Feb, p.S71-87. 2006.
- Doubrovsky, A., J. H. De Wilt, *et al.* Sentinel node biopsy provides more accurate staging than elective lymph node dissection in patients with cutaneous melanoma. <u>Ann Surg Oncol</u>, v.11, n.9, Sep, p.829-36. 2004.
- Ellis, P. S. e R. Whitehead. Mitosis counting--a need for reappraisal. <u>Hum Pathol</u>, v.12, n.1, Jan, p.3-4. 1981.
- Govindarajan, A., D. M. Ghazarian, et al. Histological features of melanoma sentinel lymph node metastases associated with status of the completion lymphadenectomy and rate of subsequent relapse. Ann Surg Oncol, v.14, n.2, Feb, p.906-12. 2007.

Karjalainen, J. M., M. J. Eskelinen, et al. Mitotic rate and S-phase fraction as prognostic factors in stage I cutaneous malignant melanoma. <u>Br J Cancer</u>, v.77, n.11, Jun, p.1917-25. 1998.

Kesmodel, S. B., G. C. Karakousis, *et al.* Mitotic rate as a predictor of sentinel lymph node positivity in patients with thin melanomas. <u>Ann Surg Oncol</u>, v.12, n.6, Jun, p.449-58. 2005.

Kruper, L. L., F. R. Spitz, *et al.* Predicting sentinel node status in AJCC stage I/II primary cutaneous melanoma. Cancer, v.107, n.10, Nov 15, p.2436-45. 2006.

Mcmasters, K. M., S. L. Wong, et al. Factors that predict the presence of sentinel lymph node metastasis in patients with melanoma. <u>Surgery</u>, v.130, n.2, Aug, p.151-6. 2001.

Melanoma Statistics.

Miller, A. J. e M. C. Mihm, Jr. Melanoma. N Engl J Med, v.355, n.1, Jul 6, p.51-65. 2006.

Minutilli, E., D. Giannarelli, *et al.* Sentinel node biopsy in cutaneous melanoma: correlations between melanoma prognostic factors and sentinel node status. <u>J Exp Clin Cancer Res</u>, v.26, n.1, Mar, p.71-6. 2007.

Morton, D. L., A. J. Cochran, *et al.* Sentinel node biopsy for early-stage melanoma: accuracy and morbidity in MSLT-I, an international multicenter trial. <u>Ann Surg</u>, v.242, n.3, Sep, p.302-11; discussion 311-3. 2005.

Morton, D. L., J. F. Thompson, *et al.* Sentinel-node biopsy or nodal observation in melanoma. <u>N Engl J Med</u>, v.355, n.13, Sep 28, p.1307-17. 2006.

_____. Validation of the accuracy of intraoperative lymphatic mapping and sentinel lymphadenectomy for early-stage melanoma: a multicenter trial. Multicenter Selective Lymphadenectomy Trial Group. Ann Surg, v.230, n.4, Oct, p.453-63; discussion 463-5. 1999.

Morton, D. L., D. R. Wen, *et al.* Technical details of intraoperative lymphatic mapping for early stage melanoma. <u>Arch Surg</u>, v.127, n.4, Apr, p.392-9. 1992.

Morton, R. L., K. Howard, *et al.* The Cost-Effectiveness of Sentinel Node Biopsy in Patients with Intermediate Thickness Primary Cutaneous Melanoma. Ann Surg Oncol, Sep 30. 2008.

Mraz-Gernhard, S., R. W. Sagebiel, *et al.* Prediction of sentinel lymph node micrometastasis by histological features in primary cutaneous malignant melanoma. <u>Arch Dermatol</u>, v.134, n.8, Aug, p.983-7. 1998.

Paek, S. C., K. A. Griffith, *et al.* The impact of factors beyond Breslow depth on predicting sentinel lymph node positivity in melanoma. <u>Cancer</u>, v.109, n.1, Jan 1, p.100-8. 2007.

Patel, S. G., D. G. Coit, *et al.* Sentinel lymph node biopsy for cutaneous head and neck melanomas. Arch Otolaryngol Head Neck Surg, v.128, n.3, Mar, p.285-91. 2002.

Pearl, R. A., M. D. Pacifico, *et al.* Ki-67 expression in melanoma. A potential method of risk assessment for the patient with a positive sentinel node. <u>J Exp Clin Cancer Res</u>, v.26, n.1, Mar, p.109-15, 2007.

Results, S. E. A. E. SEER. 2008.

Retsas, S. Cutaneous melanoma. <u>Lancet</u>, v.365, n.9476, Jun 11-17, p.2003-4; author reply 2004-5. 2005.

Sassen, S., H. M. Shaw, *et al.* The complex relationships between sentinel node positivity, patient age, and primary tumor desmoplasia: analysis of 2303 melanoma patients treated at a single center. <u>Ann Surg Oncol</u>, v.15, n.2, Feb, p.630-7. 2008.

Sondak, V. K., J. M. Taylor, *et al.* Mitotic rate and younger age are predictors of sentinel lymph node positivity: lessons learned from the generation of a probabilistic model. <u>Ann Surg Oncol</u>, v.11, n.3, Mar, p.247-58. 2004.

Taylor, R. C., A. Patel, *et al.* Tumor-infiltrating lymphocytes predict sentinel lymph node positivity in patients with cutaneous melanoma. J Clin Oncol, v.25, n.7, Mar 1, p.869-75. 2007.

Thompson, A., R. F. Uren, *et al.* <u>Lymphoscintigraphy</u>. St. Louis, Missouri: Karen Berger, v.Cutaneous Melanoma. 2003a. 19 p.

. Lymphoscintigraphy. St. Louis, Missouri: Karen Berger, v.1. 2003b. 19 p.

Thompson, J. F., R. A. Scolyer, et al. Cutaneous melanoma. <u>Lancet</u>, v.365, n.9460, Feb 19-25, p.687-701. 2005.

Thompson, J. F. e H. M. Shaw. Should tumor mitotic rate and patient age, as well as tumor thickness, be used to select melanoma patients for sentinel node biopsy? <u>Ann Surg Oncol</u>, v.11, n.3, Mar, p.233-5. 2004.

Thompson, J. F. e R. F. Uren. Lymphatic mapping in management of patients with primary cutaneous melanoma. <u>Lancet Oncol</u>, v.6, n.11, Nov, p.877-85. 2005.

Van Akkooi, A. C., J. H. De Wilt, *et al.* Clinical relevance of melanoma micrometastases (<0.1 mm) in sentinel nodes: are these nodes to be considered negative? <u>Ann Oncol</u>, v.17, n.10, Oct, p.1578-85. 2006.

Wagner, J. D., M. S. Gordon, et al. Predicting sentinel and residual lymph node basin disease after sentinel lymph node biopsy for melanoma. <u>Cancer</u>, v.89, n.2, Jul 15, p.453-62. 2000.

Wagner, J. D. e V. K. Sondak. The sentinel lymph node: more than just another blue lymph node. <u>Cancer</u>, v.97, n.8, Apr 15, p.1821-3. 2003.

Weidner, N. Current pathologic methods for measuring intratumoral microvessel density within breast carcinoma and other solid tumors. <u>Breast Cancer Res Treat</u>, v.36, n.2, p.169-80. 1995.

Yee, V. S., J. F. Thompson, *et al.* Outcome in 846 cutaneous melanoma patients from a single center after a negative sentinel node biopsy. <u>Ann Surg Oncol</u>, v.12, n.6, Jun, p.429-39. 2005.

O48a Oliveira, Jéferson Krawcyk de.

Avaliação da taxa de proliferação celular da lesão primária como fator preditivo de positividade de linfonodo sentinela em melanoma maligno cutâneo / Jéferson Krawcyk de Oliveira; orient. Vinicius Duval da Silva. Porto Alegre: PUCRS, 2009.

46 f.: gráf. tab.

Dissertação(Mestrado)—Pontifícia Universidade Católica do Rio Grande do Sul. Faculdade de Medicina. Programa de Pós-Graduação em Medicina e Ciências da Saúde. Área de Concentração: Clínica Cirúrgica.

Neoplasias Cutâneas. 2. Melanoma. 3. Proliferação de Células.
 Biópsia de Linfonodo Sentinela. 5. Prognóstico. I. Silva, Vinicius Duval da. II. Título.

CDD 616.99477 NLM WR 500

Bibliotecária Responsável: Sabrina Caimi Silva da Costa CRB10/1606

Livros Grátis

(http://www.livrosgratis.com.br)

Milhares de Livros para Download:

<u>Baixar</u>	livros	de	Adm	<u>inis</u>	tra	ção

Baixar livros de Agronomia

Baixar livros de Arquitetura

Baixar livros de Artes

Baixar livros de Astronomia

Baixar livros de Biologia Geral

Baixar livros de Ciência da Computação

Baixar livros de Ciência da Informação

Baixar livros de Ciência Política

Baixar livros de Ciências da Saúde

Baixar livros de Comunicação

Baixar livros do Conselho Nacional de Educação - CNE

Baixar livros de Defesa civil

Baixar livros de Direito

Baixar livros de Direitos humanos

Baixar livros de Economia

Baixar livros de Economia Doméstica

Baixar livros de Educação

Baixar livros de Educação - Trânsito

Baixar livros de Educação Física

Baixar livros de Engenharia Aeroespacial

Baixar livros de Farmácia

Baixar livros de Filosofia

Baixar livros de Física

Baixar livros de Geociências

Baixar livros de Geografia

Baixar livros de História

Baixar livros de Línguas

Baixar livros de Literatura

Baixar livros de Literatura de Cordel

Baixar livros de Literatura Infantil

Baixar livros de Matemática

Baixar livros de Medicina

Baixar livros de Medicina Veterinária

Baixar livros de Meio Ambiente

Baixar livros de Meteorologia

Baixar Monografias e TCC

Baixar livros Multidisciplinar

Baixar livros de Música

Baixar livros de Psicologia

Baixar livros de Química

Baixar livros de Saúde Coletiva

Baixar livros de Serviço Social

Baixar livros de Sociologia

Baixar livros de Teologia

Baixar livros de Trabalho

Baixar livros de Turismo